

# Lista B

PME 3380 - Modelagem

**Nathan Daleffi Rodrigues Rayes**

10772585



Escola Politécnica  
Universidade de São Paulo  
São Paulo  
2020

## 1

O problema do reservatório duplo a seguir foi resolvido em *Scilab* através de dois métodos iterativos: Euler e Runge-Kutta de 2ª ordem:

$$\begin{cases} \dot{h}_1 = \left[ Q_e - \sqrt{\frac{\rho g}{R_1}(h_1 - h_2)} \right] \frac{1}{S_1} \\ \dot{h}_2 = \left[ \sqrt{\frac{\rho g}{R_1}(h_1 - h_2)} - \sqrt{\frac{\rho g}{R_1} h_2} \right] \frac{1}{S_2} \end{cases} \quad (1)$$

Como condições iniciais foram adotadas alturas  $h_1 = 1m$  e  $h_2 = 0.5m$

Os resultados gráficos para o método de Euler e para essas condições e valores de  $R_1 = R_2 = 2 \cdot 10^8 Pa/(m^3/s)^2$  foram os seguintes:

Figura 1 – Altura  $h_1$  calculada por Euler

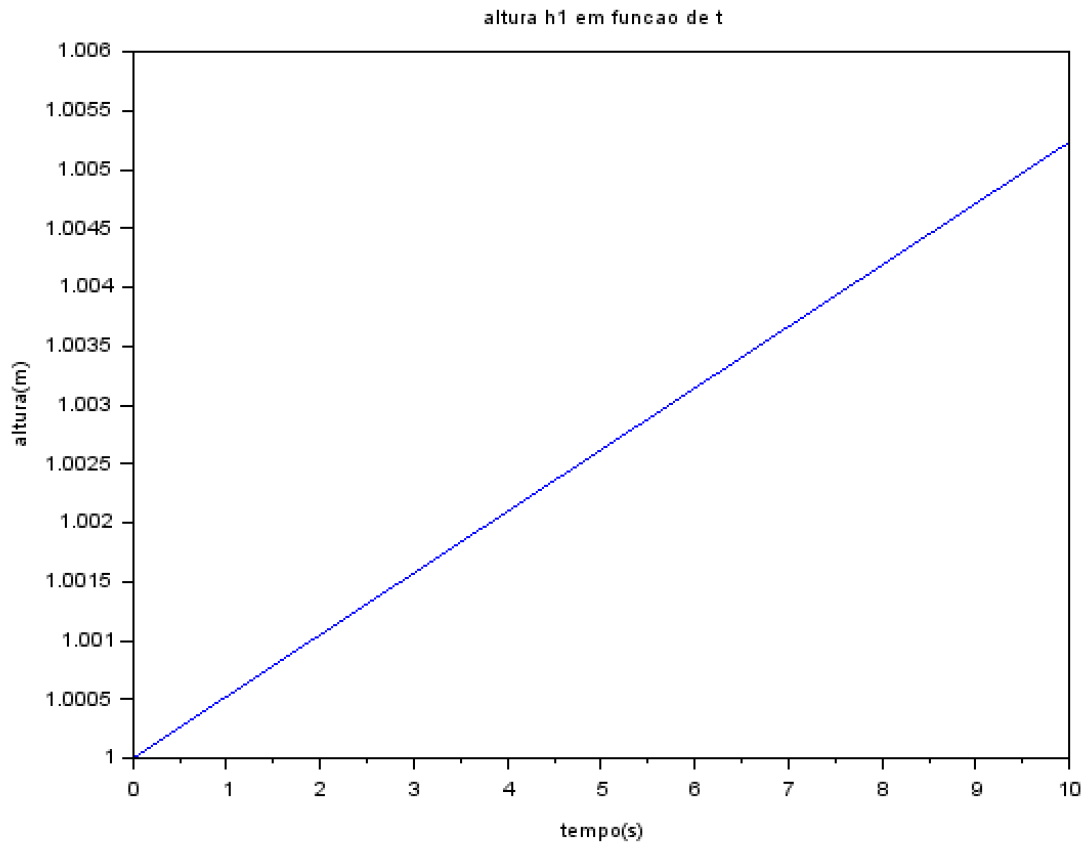
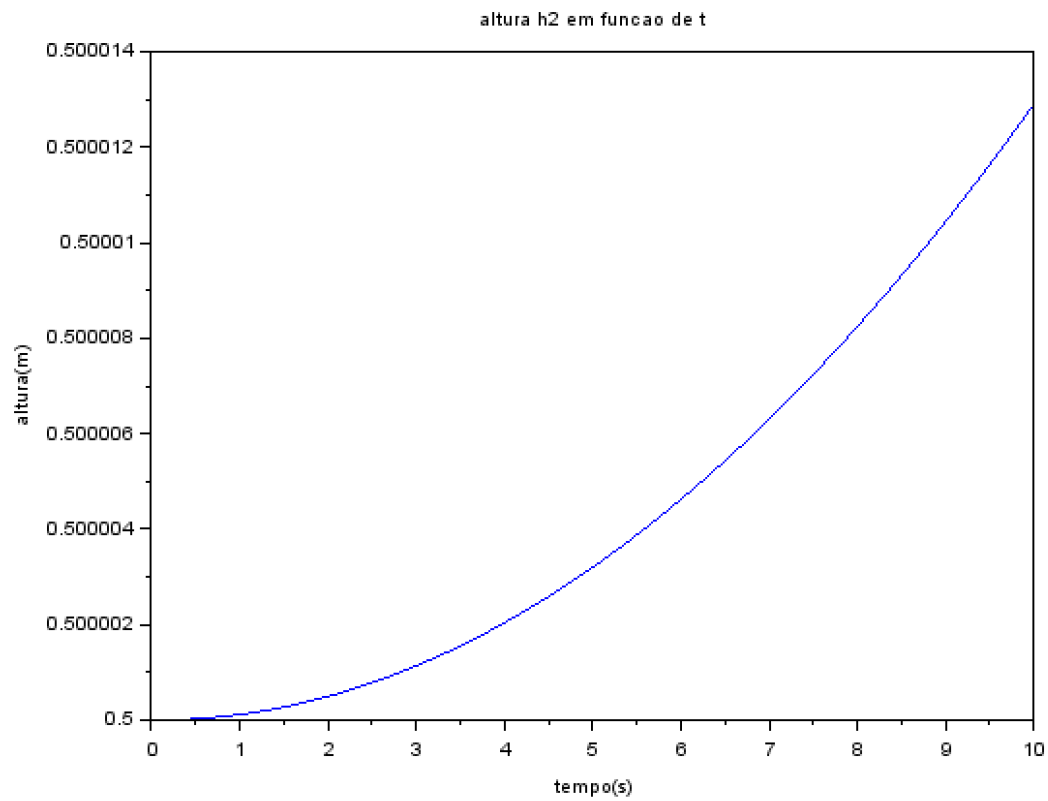


Figura 2 – Altura  $h_2$  calculada por Euler



Pode-se perceber que o valor das Resistências  $R_1$  e  $R_2$  é elevado, o que leva a um aumento da altura de água em cada reservatório.

Os gráficos a seguir mostram esse mesmo resultado calculado a partir do método iterativo de Runge-Kutta de 2ª ordem:

Figura 3 – Altura  $h_1$  calculada por Runge-Kutta de 2ª ordem

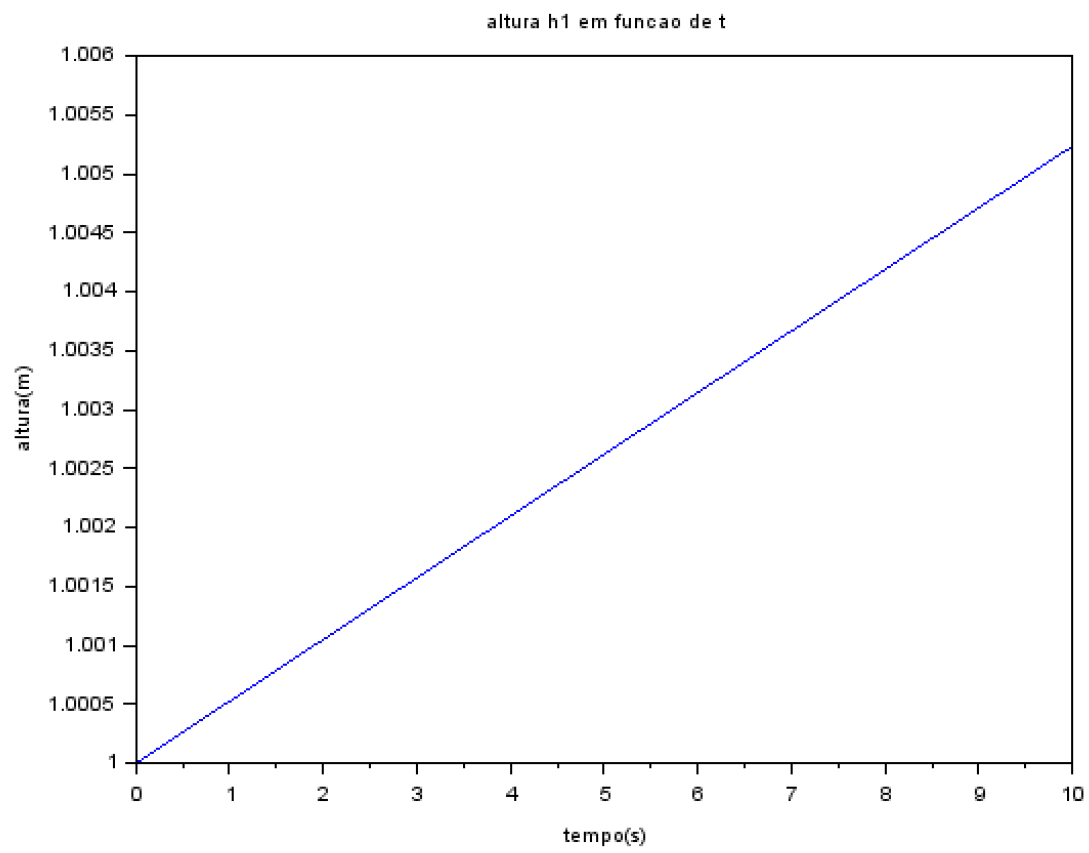
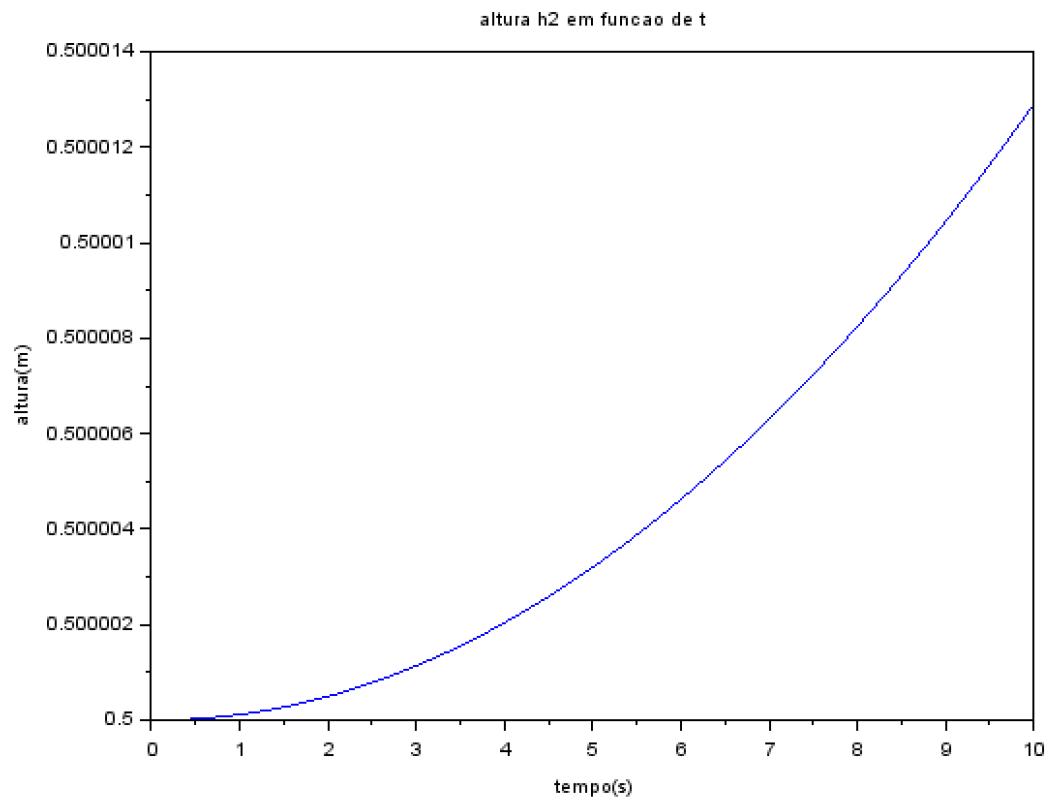


Figura 4 – Altura  $h_2$  calculada por Runge-Kutta de 2ª ordem



Pode-se perceber que não há diferença significativa entre estes dois métodos, apesar do método de Runge-Kutta ter uma ordem de convergência de 2º grau em comparação com a convergência linear do método de Euler.

Os códigos produzidos para cada método de resolução desse problema encontram-se abaixo:

#### a) Euler

```

1 clear ;
2 rho = 1000;
3 g = 10;
4 R = 2e8;
5 R1 = R;
6 R2 = R;
7 S = 10;
8 Qe = 0.010247;
9 S1 = S;
10 S2 = S;
11
12 h10 = 1;

```

```

13 h20 = 0.5;
14
15 tf = 10;
16 n = 100;
17
18 t = linspace(0,tf,n);
19 dt = t(2) - t(1);
20 h1 = zeros(1,n);
21 h2 = zeros(1,n);
22 h1(1) = h10;
23 h2(1) = h20;
24 for i=2:n
25     h1(i) = h1(i-1) + dt*(Qe - sqrt(rho*g*(h1(i-1)-h2(i-1))/R1))/S1;
26     h2(i) = h2(i-1) + dt*(sqrt(rho*g*(h1(i-1)-h2(i-1))/R1) - sqrt(rho*g*h2(
    i-1)/R2))/S2;
27 end
28
29 f1 = scf(1);
30 plot(t,h1);
31 xtitle('altura h1 em funcao de t','tempo(s)','altura(m)')
32 f2 = scf(2);
33 plot(t,h2);
34 xtitle('altura h2 em funcao de t','tempo(s)','altura(m)')
35 plot(t,h2)

```

## b) Runge-Kutta de 2ª ordem

```

1 clear;
2 rho = 1000;
3 g = 10;
4 R = 2e8;
5 R1 = R;
6 R2 = R;
7 S = 10;
8 Qe = 0.010247;
9 S1 = S;
10 S2 = S;
11
12 h10 = 1;
13 h20 = 0.5;
14
15 tf = 10;
16 n = 100;
17
18 t = linspace(0,tf,n);
19 dt = t(2) - t(1);
20 h1 = zeros(1,n);
21 h2 = zeros(1,n);

```

```

22 h1(1) = h10;
23 h2(1) = h20;
24 function y = f1(i)
25     y = (Qe - sqrt(rho*g*(h1(i)-h2(i))/R1))/S1;
26 endfunction
27
28 function y = f2(i)
29     y = (sqrt(rho*g*(h1(i)-h2(i))/R1) - sqrt(rho*g*h2(i)/R2))/S2
30 endfunction
31
32 for i=2:n
33     k11 = dt*f1(i-1);
34     k21 = dt*f1(i-1 + k11/2);
35     k31 = dt*f1(i-1 + k21/2);
36     k41 = dt*f1(i-1 + k31);
37
38     h1(i) = h1(i-1) + (k11 + 2*k21 + 2*k31 + k41)/6
39
40     k12 = dt*f2(i-1);
41     k22 = dt*f2(i-1 + k12/2);
42     k32 = dt*f2(i-1 + k22/2);
43     k42 = dt*f2(i-1 + k32);
44
45     h2(i) = h2(i-1) + (k12 + 2*k22 + 2*k32 + k42)/6
46 end
47
48 f1 = scf(1);
49 plot(t,h1);
50 xtitle("altura h1 em funcao de t","tempo(s)","altura(m)")
51 f2 = scf(2);
52 plot(t,h2);
53 xtitle("altura h2 em funcao de t","tempo(s)","altura(m)")
54 plot(t,h2)

```